

中等專業學校試用教材

汽车发动机及汽车 理论与计算

西安公路学院 编



人民交通出版社

中等專業學校試用教材

汽车发动机及汽车 理论与计算

(汽车技术使用与修理专业用)

西安公路学院 主編

人民交通出版社

本書講述汽車发动机理論、发动机計算、汽車理論和汽車計算，共分四篇二十六章。

本書由西安公路学院主編，山东交通专科学校協助編寫。

本書可作为交通中等专业学校汽車技术使用与修理专业試用教材，亦可供交通部門有关专业人員工作和學習的參攷。

希望使用本書的单位或个人，多多提出改进意見，逕寄西安公路学院，以便再版时修改。

目 录

前 言	5
-----------	---

第一篇 发动机理論

第一章 汽車发动机的工作過程	6
第一节 发动机的理論循環与实际循環	6
第二节 进气及排气過程	8
第三节 壓縮過程	14
第四节 汽車用燃料及其燃烧	17
第五节 燃燒過程	22
第六节 膨脹過程	34
第二章 发动机的功率和經濟性	36
第七节 发动机的指示功率	36
第八节 发动机的有效功率	38
第九节 发动机的燃料消耗量	40
第三章 发动机的效率和热平衡	41
第十节 发动机的效率	41
第十一节 发动机的热平衡	43
第四章 发动机的特性	44
第十二节 发动机的調整特性	45
第十三节 发动机的速度特性	48
第十四节 发动机的載荷特性	53
第十五节 发动机的惰轉特性	54
第五章 发动机的試驗	55
第十六节 发动机有效功率的測定	55
第十七节 发动机曲軸轉速的測定	58
第十八节 发动机示功图的測繪	59
第十九节 发动机燃料消耗量的測定	61

第二篇 发动机計算

第一章 发动机曲柄連杆机构的动力學	63
第一节 中心曲柄連杆机构的运动学	63

第二节	曲柄連杆机构运动部分的質量.....	64
第三节	曲柄連杆机构中所发生的慣性力.....	66
第四节	发动机的普通动力学.....	66
第五节	发动机的平衡.....	68
第二章	活塞組、連杆、曲軸的强度校核.....	75
第六节	活塞.....	75
第七节	活塞环.....	76
第八节	活塞銷.....	78
第九节	連杆.....	79
第十节	曲軸.....	82
第三章	发动机的配气机构.....	86
第十一节	气門的运动学.....	86
第十二节	气門.....	90
第十三节	气門彈簧.....	92
第十四节	凸輪軸.....	93

第三篇 汽車理論

第一章	汽車的主要运行性能和行驶时作用在汽車上的力.....	95
第一节	汽車的主要运行性能.....	95
第二节	汽車驅动輪上的牵引力.....	95
第三节	传动系統的机械效率.....	97
第四节	弹性車輪的滚动.....	98
第五节	汽車的滚动阻力.....	99
第六节	空气阻力.....	102
第七节	上坡阻力.....	104
第八节	汽車的加速阻力.....	104
第九节	驅动車輪与道路間的附着力.....	106
第十节	汽車車輪的径向反作用力.....	107
第二章	汽車的牵引性能及牵引計算.....	110
第十一节	汽車的牵引平衡.....	110
第十二节	汽車的动力特性.....	112
第十三节	汽車的加速性能.....	115
第十四节	汽車的功率平衡.....	118
第十五节	汽車結構对动力特性的影响.....	121
第十六节	汽車的牵引計算.....	126
第三章	汽車的制动性能.....	132
第十七节	汽車制动时車輪上的力.....	132

第十八节 制动性能的衡量指标.....	133
第四章 汽車的燃料經濟性.....	136
第十九节 发动机的經濟特性.....	137
第二十节 汽車稳定行驶的經濟特性.....	140
第二十一节 汽車非稳定行驶时的燃料經濟性.....	141
第二十二节 汽車的使用因素和結構参数对稳定行驶經濟性的影响.....	143
第五章 汽車的操縱性.....	146
第二十三节 弹性輪胎的横向偏出及其对操縱性的影响.....	146
第二十四节 汽車轉向輪的摆振.....	149
第六章 汽車的穩定性.....	150
第二十五节 汽車的縱向稳定性.....	150
第二十六节 汽車的横向稳定性.....	151
第二十七节 汽車前后輪的甩动.....	152
第七章 汽車的通过性.....	155
第二十八节 汽車的通过性.....	155
第八章 汽車行駛的平順性.....	157
第二十九节 汽車行駛的平順性.....	157
第九章 汽車列車的运行性能.....	160
第三十节 汽車列車的牵引动力性.....	160
第二卅一节 汽車列車的运动学.....	165
第二卅二节 挂車的稳定性.....	170
第十章 汽車的性能試驗.....	173
第二卅三节 汽車的道路試驗.....	173
第二卅四节 汽車的實驗室試驗.....	178

第四篇 汽 車 計 算

第一章 汽車各机构及部件載荷的确定法.....	182
第一节 汽車各机件所受載荷的性质.....	182
第二节 在进行强度計算时計算用載荷的确定.....	182
第三节 在进行耐久計算时計算用載荷的确定.....	184
第二章 离合器的計算.....	187
第四节 离合器主要尺寸的确定.....	187
第五节 离合器的磨損及发热驗算.....	189
第六节 离合器压力彈簧的計算.....	192
第三章 变速器的計算.....	195
第七节 变速器齒輪的計算.....	195
第八节 变速器軸的計算.....	200

第四章	万向传动机件的計算	202
第九节	万向节的計算	202
第十节	万向传动軸的計算	205
第五章	驅动桥的計算	207
第十一节	主传动器的計算	208
第十二节	差速器的計算	213
第十三节	半軸的計算	216
第六章	从动桥的計算	221
第十四节	从动桥梁的計算	222
第十五节	轉向节和主銷的計算	224
第七章	悬架和車架的計算	229
第十六节	悬架弹性元件的計算	229
第十七节	車架的計算	236
第八章	操縱机构的計算	238
第十八节	制动器的計算	238
第十九节	制动传力机构的計算	241
第二十节	轉向器的計算	245
第廿一节	轉向传动机构的計算	248

第一章 緒論

第一章 緒論
 第一節 機械工程概論
 第二節 機械工程圖
 第三節 機械材料
 第四節 機械製造工藝
 第五節 機械設計的一般問題
 第六節 機械設計的一般方法

前 言

本書是根据中等专业学校汽車技术使用与修理专业的教学大綱編写的，包括发动机理論、发动机計算、汽車理論和汽車計算等四部分。

根据本专业的性质和培养目标的要求，書中主要内容如下：

发动机理論部分——为了使学生了解发动机工作的基本原理以及如何評价一部发动机，因此重点內容为发动机工作过程（特別是汽油机和柴油机的燃烧过程）、发动机性能指标和发动机的特性，其中对在各种运转和使用条件下，发动机工作性能的变化情况作較多闡述，以便使学生在各种使用情况下，能正确地运用发动机。

发动机計算部分——对各主要零件，只介紹一般的强度核算。为了确定各零件的受力情况，同时由于发动机各机件、机构的耐磨性和工作的可靠性与发动机运转和受力情况有重要关系，故动力学內容闡述較多。

汽車理論部分——重点內容为汽車的牵引性能、汽車燃料經濟性和汽車列車运行性能等。通过这些主要内容的学习，使学生了解汽車的主要使用性能，并能一般确定在各种使用条件下，如何正确运用汽車，以便尽可能保証汽車最高的使用效能，延长汽車寿命，以达到安全运输和节约运行材料。对汽車列車的研究是我国当前交通运输事业的重要問題，所以書中加入这一部分內容。

汽車計算部分——由于目前汽車修理企业单位需要对汽車底盘零件自行配制和对底盘进行改装，故对汽車底盘各机构及部件載荷的确定法和对主要易損零件的受力分析、强度計算等作較詳細的說明。

为了使理論能联系实际，对汽車发动机和汽車性能試驗，都分別有专章介紹。

第一篇：發动机理論

第一章 汽車发动机的工作過程

第一节 发动机的理論循环与实际循环

內燃机是現代汽車拖拉机发动机的主要形式。在內燃机中燃料的化学能轉变为机械功。从热力学中我們知道，循环就是指工作物質（简称工質），經過一系列連續的状态变化后所完成的封閉过程。在实际过程中，由于这一变化进行得非常复杂，因此，使研究工作很困难，并且很难判定它的完善程度，同时，也很难得到提高发动机經濟性途径的明确概念。

研究理論循环就可以使这些問題的解决变得容易得多，用理論循环代替实际循环是基于下列四个假定：

1)假定循环是在具有一定数量的同一工質中进行的，因此，不攷虑气缸充气和废气排出气缸的流动损失，以及漏气損失。

2)假定工質的化学成分在整个循环的进行中并不改变，同时燃料燃烧的实际过程是用外界加入热量来代替的，这就可以不攷虑由于燃料燃烧不完善所引起的热损失。

3)假定压缩与膨胀过程是在絕熱情况下进行的，因此，沒有传热损失。

4)假定工質的比热是常数，即不随所处的溫度与压力而变。

經過以上簡化后，使循环的热量利用达到最高程度，而且，使寻求理論循环的效率与循环中热力参数的主要关系变得容易得多。

发动机的理論循环有两种：

1. 等容加热循环：如图1-1a所示，这种循环的特点是：每循环所加入的热量 Q_1 是在等容情况下进行的。

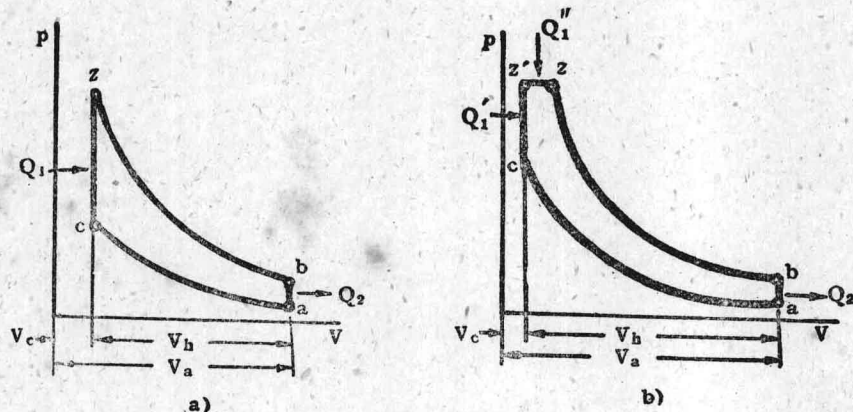


图1-1 理論循环示功图
a-等容加热循环； b-混合加热循环

所有强制点火式发动机（如采用汽油、煤油、酒精和煤气等为燃料的发动机）的实际循环都可以按等容加热循环来估计。

等容加热循环的热效率为：

$$\eta_t = \frac{Q_1 - Q_2}{Q_1} = 1 - \frac{1}{\varepsilon^{k-1}} \quad (1-1)$$

式中： Q_1 、 Q_2 ——加入及传出的热量；

$$\varepsilon = \frac{V_a}{V_c} \quad \text{——压缩比；}$$

$$k = \frac{C_p}{C_v} \quad \text{——绝热指数。}$$

2. 混合加热循环：如图1-1b所示，这种循环的特点是：加入的总热量 Q_1 的一部分 Q'_1 是在等容情况下加入的，而另一部分 Q''_1 是在等压情况下加入的。

所有现代汽车用压燃式发动机（柴油机）的实际循环通常都按混合加热循环来估计。

混合加热循环的热效率为：

$$\eta_t = \frac{Q_1 - Q_2}{Q_1} = 1 - \frac{1}{\varepsilon^{k-1}} \cdot \frac{\lambda \rho^k - 1}{\lambda - 1 + k(\lambda - 1)} \quad (1-2)$$

式中： $\lambda = \frac{p_z}{p_c}$ ——压力升高比；

$$\rho = \frac{V_a}{V_c} \quad \text{——预胀比。}$$

从公式1-1可知，随着压缩比 ε 的增加，由于热量利用的改善，便使等容加热循环的热效率 η_t 提高，因此希望采用高的压缩比。但 ε 的增加，受到燃料性质的限制，改善燃料性质是提高 ε 的主要方面。另外，压缩比 ε 增加到一定值之后，热效率随压缩比增加的程度减小，而压力很快的升高，这便使发动机零件的机械负荷加大，增加了发动机零件的尺寸、重量和磨损。因此，增加 ε 亦是有限的。

由公式1-2可知，混合加热循环的热效率 η_t 值除了与 ε 值有关外（其关系与等容加热循环同），同时还与 λ 及 ρ 值有关。当 λ 值增大， ρ 值减小时，即在等容情况下加入的热量 Q'_1 增加，等压情况下加入的热量 Q''_1 减少时，热效率增加。在极限情况下，当 ρ 减小到 1 时，混合加热循环变成等容加热循环，此时热效率值达最大值。因此得到这样一个结论：在压缩比相等的情况下，等容加热循环的热效率较混合加热循环为高。

但在实际使用中按混合加热循环工作的柴油机的热效率较高，这是因为实际使用的柴油机压缩比较高的缘故。

发动机的实际循环是由进气、压缩、燃烧、膨胀和排气五个过程所组成。其实际循环的示功图如图1-2所示。

图中虚线表示大气压力线。 $r-a$ 曲线表示当活塞向下止点移动时，气体从进气门进入气缸的过程。当活塞返回时，工作气体被压缩，同时与缸壁发生热交换，因此压缩过程是按多变

曲綫 a-c 进行的。在压缩过程終了，活塞到达上止点前，c 点进行点火或燃料噴入，燃烧过程沿曲綫 c-z 进行。对汽化器式发动机（图1-2a），燃料燃烧近乎在容积不变的情况下进行；对柴油机則一部分在近乎容积不变的情况下进行（c-z' 曲綫），另一部分在近乎压力不变的情况下进行（z'-z 曲綫）。然后，气体沿多变曲綫 z-b 进行膨胀过程对外作功，排气門在活塞到达下

止点前 b 点开启，然后活塞向上止点移动沿 b-r 曲綫进行排气过程。以上五个过程是在活塞四个行程（曲軸轉二轉）內完成的，因而称四行程发动机。

实际循环的示功图，可以用已有的发动机通过实验方法作出，也可以通过一系列的計算先作出理想示功图，再經過一些修正后，用繪图法得出。

第二节 进气及排气过程

在发动机的进气和排气过程中，是将新鮮的气体（可燃混合气或空气）来代替已工作过的燃烧产物（废气）的。因此，进排气过程也可称为换气过程。实际上，在某一时期內排气和进气是同时进行的，因此，通常把这两个过程放在一起研究。

一、四行程发动机的换气过程

换气过程在理論上是：进、排气門开启时间各占一个行程，但实际的换气过程为了使废气清除干淨和充进更多的新鮮气体，气門总是提早开启和迟后关闭的。

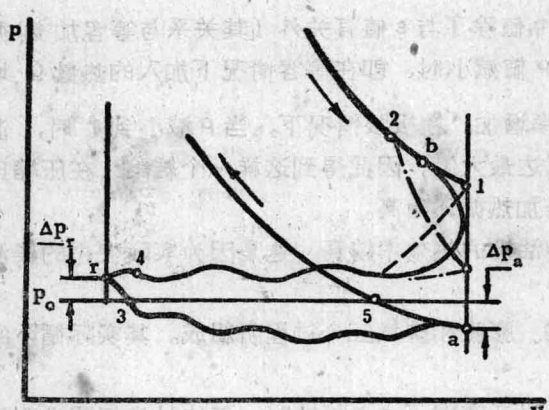


图1-3 四行程发动机的换气过程

当膨胀終了，活塞在下止点前，排气門就开启了。这样可利用气体比較高的压力自行排出气缸；并且当活塞向上止点移动进行排气时，排气門的通道已很大，可使废气很順利地排出。若在点 1 才开启排气門（参看图 1-3），则气缸内較高的压力，使活塞向上止点移动进行排气时承受的反压力較高，因而消耗的功較多，使有用功減少（图 1-3 中虛線所示）。过早的打开排气門，如在点 2 开启，则部分还具有較大能量的气体沒有作功就被排出，因而使有用功減少（图 1-3 中点划線所示）。只有适当的提早（在点

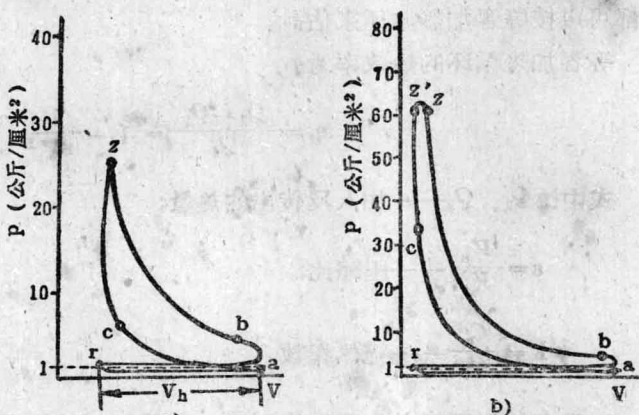


图1-2 四行程发动机的示功图
a-汽化器式发动机的； b-柴油机的

b)，才能使有用功最大（图1-3中实线所示）。

当排气终了，活塞到达上止点时，排气门继续开着，直到活塞经过上止点向下止点移动，气缸内压力降低时才关闭（如点3）。这样迟后关闭排气门是为了在排气终了仍具有较大的气门通道截面，让气体顺利排出，并且利用气流的惯性继续进行排气，直到气缸内压力降低。排气门的提早开启和迟后关闭使排气所消耗的功减少，废气清除比较干净。

进气门是在排气接近终了，活塞在上止点前开始开启的（如点4）。这样可使进气开始时具有足够大的进气通道截面，使新鲜气体容易进入气缸。活塞向下止点移动，新鲜气体不断进入气缸，当活塞到达下止点再返回时，气缸内压力可能还低于进气管内压力（如在点5前），而且气体还具有一定惯性继续充入气缸，因而进气门迟关可使充气量增加，但过迟关闭，充入的新鲜气体会被活塞压出，使充量反而降低。在进气门提早开启和排气门迟后关闭的这段时间内，进排气门都是开着的，称为气门迭开时期。这时废气是否会流进进气系统呢？回答是否定的。因为废气具有一定惯性，要继续往排气门流出，而此时进气门开度较小，在较短的迭开时间内是不会发生这种现象的。但如迭开时期过大，则会发生废气流入进气系统的现象，这样新鲜气体将被污染，充量亦下降。选择适当的气门提早开启和迟后关闭时间（配气定时），可使废气清除干净，新气充量增加。对不同的发动机，由于气流惯性等不同，应选择不同的气门提早开启和迟后关闭时间。

在进气或排气过程中，由于活塞移动速度不均匀，气门通道截面亦时时在变化，因此通过气门机构的气体流量时刻在变化，这将引起进气管中或排气管中气体压力的波动，如图1-3所示。

通常是以 r 点的压力 p_r 表示排气压力， a 点的压力 p_a 表示进气压力， r 点和 a 点的温度分别表示排气终了和进气终了的温度。

二、换气过程参数的计算

1. 进气终点压力 p_a ：新鲜气体在大气压力 p_0 下，以一定的流速进入气缸的过程中，遇到空气滤清器、汽化器、进气管、气门通道等的各种阻力，因而使进气压力 p_a 低于大气压力 p_0 （图1-3）。进气压力 p_a 是随进气系统中阻力大小及运转情况而发生变化的。

例如，采用不合适的空气滤清器及其技术状况不好，将使阻力增加很多，而使 p_a 下降可达 $0.04\sim0.05$ 公斤/厘米²或者更多一些。

不应有的进气管转弯及转弯半径过小和管道内壁粗糙，都使进气阻力增大，压力下降。

不同发动机在运转过程中，随着转速的增加，气体流速增加，因而阻力损失加大，进气压力下降，其下降值 Δp_a 大致与转速 n 的平方成正比： $\Delta p_a = An^2$ 。

随着发动机转速的提高，进气压力下降，如图1-4所示。在汽化器式发动机是用节气门开度来调节发动机负荷的，当负荷减少时，即节气门开度减小，此时阻力增大，压力下降，如图1-4所示。100%表示节气门全开， p_a 最大。

根据气体流速。计算进气系统内各部分的压力降

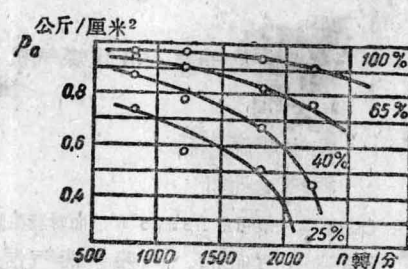


图1-4 进气压力 p_a 随转速和节气门开度而变化的情形

而求得进气压力是較复杂的，而且計算时假設的条件与实际情况相差較远。因此，对已有发动机的 p_a 值可通过試驗来决定，对新設計的发动机可通过与同类型发动机的統計資料来进行选择。

一般汽車用发动机在額定工作情况下，其 p_a 值大致如下：

汽油机	0.75~0.90公斤/厘米 ²
柴油机	0.80~0.93公斤/厘米 ²
发生爐煤气机	0.70~0.80公斤/厘米 ²

由于 p_a 的数值对于发动机性能的影响很大，必須予以正确的估計。当沒有掌握許多发动机的结构和参数而不易正确估計 p_a 值时，可用下列公式进行計算：

$$p_a = p_0 \left[1 - \frac{n^2}{513 \times 10^6} \left(\frac{V_h}{f} \right)^2 \frac{1}{\varphi^2} \right]^{\frac{k}{k-1}} \quad (1-3)$$

式中： V_h ——气缸工作容积；

k ——絕热指数， $k = 1.4$ ；

φ ——流动系数，对于鑄鐵进气管全負荷时，

$\varphi = 0.7 \sim 0.8$ ；

f ——气門通路断面积。

不同类型的发动机进气阻力是不同的。柴油机沒有汽化器，因而进气压力一般較汽化器式发动机为高；在发生爐煤气机中增加了煤气发生爐、煤气冷却器及煤气滤清器等的阻力，因而压力一般較低些。

2. 进气終点溫度 T_a ：新气进入气缸后，溫度由原来的大氣溫度 T_0 变化到 T_a 。溫度的变化主要是由于：

1)进气管中的加热——在汽化器式发动机內，为了使燃料与空气形成均匀的混合气，一般都有意的对进气管进行加热以提高新气溫度，使燃料蒸发。在柴油机及煤气机进气管內，不存在使燃料蒸发的問題，因此新气在进气管內被加热得較少。

2)高温机件的加热——气缸內各机件的溫度是較高的，如活塞頂溫度約在 200°C 以上，气缸壁溫度在 100°C 以上，排气門溫度达 $700 \sim 800^\circ\text{C}$ ，当新气进入气缸与它們接触时，便受热而使溫度提高。

3)燃料的蒸发——液体燃料蒸发时吸收热量，使新气溫度下降。

由于以上三个因素的影响，新气溫度由 T_0 变化到 T'_0 ，改变值 $\Delta T = T'_0 - T_0$ 随发动机种类而不同，如：

汽油机及压缩、液化煤气机	$10 \sim 45^\circ\text{C}$
柴油机	$10 \sim 25^\circ\text{C}$
发生爐煤气机	$10 \sim 20^\circ\text{C}$
酒精发动机	$80 \sim 90^\circ\text{C}$

大氣溫度 T_0 一般可取 $273 + 15^\circ\text{K}$ ，而对發生爐煤气机，由于煤气來自發生爐，所以 T_0 取作 $273 + (25 \sim 40)^\circ\text{K}$ 。

新气进入气缸后，与残余废气混合而使溫度由 T'_0 变化到进气終了溫度 T_a 。根据新气与废气混合的热量平衡可求得 T_a 。

热量平衡即在混合时新气所吸收的热量等于残余废气所放出的热量。

$$G_p c (T_a - T'_0) = G_r c_r (T'_r - T_a) \quad (1-4)$$

式中: G_p 和 G_r —— 新气重量和残余废气重量;

c 和 c_r —— 新气比热和残余废气比热,

T_a 和 T'_0 —— 进气终了温度和新气温度;

T'_r —— 与新气混合时残余废气的温度。

在近似计算中假定: $c = c_r$ 、 $T'_r = T_r$ (T_r 为排气终了温度); 并以 $G_r/G_p = \gamma$ (γ 为残余废气系数) 代入式 1-4 得:

$$T_a = \frac{T_0 + \Delta T + \gamma T_r}{1 + \gamma} \quad (1-5)$$

一般 T_a 值为: 汽化器式发动机 $\approx 340 \sim 400^\circ K$

柴油机 $\approx 310 \sim 360^\circ K$

3. 排气终点压力 p_r : 排气终点压力 p_r , 影响到残余气体的密度; p_r 高, 残余废气量增加, 因此也影响了新鲜气体的充量。所以希望 p_r 要低。由于排气系统阻力影响的结果, 使 p_r 高于大气压力 p_0 ($p_r = p_0 + \Delta p_r$)。排气系统的阻力, 对于 Δp_r 有很大的影响。例如: 当安装有消声器时, 就会使排气压力增大很多, 如图 1-5 中虚线所示。

消声器把排气瞬时及终点的压力都增大了, 因此必须把排气系统设计得使 Δp_r 变小。如适当的选择排气门及消声器的形状等, 能保证阻力减小。

当发动机的转速 n 增加时, 由于气流速度增加, 流动损失增加, 因此 p_r 也增大。增大值 Δp_r 与转速的平方成正比。

p_r 的精确计算是很复杂的, 对于汽化器式发动机, 节气门全开时的 p_r 可以根据 B.A. 彼得罗夫所提出的经验公式作近似计算:

$$p_r = 1.033(1 + 0.55 \times 10^{-4}n) \text{ 公斤}/\text{厘米}^2 \quad (1-6)$$

式中: n —— 发动机的转速。

p_r 值的一般范围为 $1.05 \sim 1.25 \text{ 公斤}/\text{厘米}^2$ 。

4. 排气终点的气体温度 T_r : 增加 T_r 值将减少残余气体的密度, 因而减少了它的数量。 T_r 值决定于压缩比、转速、混合气的成分及燃料燃烧的完善程度等。当压缩比增大时, 由于膨胀充分, T_r 减低。转速增加时在膨胀和排气过程中, 传热的时间减少, 即从燃烧产物中传出的热量减少, 而废气中带走的热量增加, 同时燃料在膨胀线上继续进行燃烧的量增加, 使温度 T_r 增高。 T_r 值变化在 $700 \sim 1200^\circ K$ 之间。柴油机相当于小的数值, 这是因为柴油机压缩比大, 膨胀充分, 所以排气温度较低。 T_r 也可以用经验公式计算:

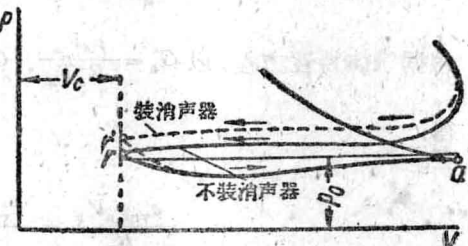


图 1-5 装消声器对排气管的影响

$$T_r = \frac{350}{\frac{1.2}{\lg n} + 0.005(\varepsilon - 3) + 0.01(\alpha - 1)} \quad (1-7)$$

式中： n, ε, α —— 分別代表发动机的轉速、壓縮比和過量空氣系数。

5. 充气系数 η_v : 充气系数是用来估計进入气缸中可燃混合气数量的，亦是用来比較不同发动机充气完善程度的一个因数。它的定义是：实际充入发动机气缸的新气量 G_e （即在 p_a 、 T_a 情况下充入气缸的新气量）与在理論情况下（即在 p_0, T_0 情况下）充入气缸工作容积 V_h 的新气量 G_0 之比。

$$\eta_v = G_e / G_0$$

在一般情况下，实际进气压力小、进气終点溫度高，所以实际充量 G_e 較理論充量 G_0 小，故充气系数是小于 1 的。

充气系数的計算如下：

根据新气与残余废气混合前后的热平衡方程式：

$$G_a c_{va} T_a = G_r c_{vr} T_r + G_e c_{ve} T'_0 \quad (1-8)$$

式中： G_a, G_r, G_e —— 分別代表工作混合气、残余废气、新气的重量；

c_{va}, c_{vr}, c_{ve} —— 分別代表工作混合气、残余废气、新气的定容比热；

T_r, T'_0 —— 残余废气溫度和新气已受热的溫度。

根据气体特性方程，以 $G_a = \frac{p_a V_a}{R_a T_a}$ 、 $G_r = \frac{p_r V_r}{R_r T_r}$ 、 $G_e = G_0 \eta_v = \frac{p_0 V_h}{R_e T_0} \eta_v$ 代入热平衡方程

式，得：

$$\frac{c_{va} p_a V_a}{R_a} = \frac{c_{vr} p_r V_r}{R_r} + \frac{c_{ve} p_0 V_h T'_0}{R_e T_0} \eta_v$$

对四行程发动机，假定沒有气門迭开，则在排气終点 (r 点) 残余废气所占容积 V_r 等于燃烧室容积 V_c 。

以 V_c 除各項并假定 $\frac{c_{va}}{R_a} = \frac{c_{vr}}{R_r} = \frac{c_{ve}}{R_e}$ ，則得：

$$\eta_v = \frac{(p_a \varepsilon - p_r) T_0}{p_0 (\varepsilon - 1) T'_0} \quad (1-9)$$

发动机充气系数越高，性能越好。充气系数高，說明进排气系統的設計好。从公式 1-9 看出，增加进气压力 p_a ，減小排气压力 p_r ，都将使充气系数提高。由于 p_a 乘以 ε ，所以它較 p_r 对充气系数的影响要大些。这主要由于 p_r 的增減仅对 V_c 这部分容积发生影响，而 p_a 的增減将对气缸总容积 V_a 发生影响，所以进气压力 p_a 較排气压力 p_r 对充气系数的影响大 ε 倍。因此，減小进气阻力，提高进气压力应放在首要地位。

进气溫度对 η_v 亦发生影响。进气溫度越低，气体密度越大，充气系数也就越高。在前面

已叙述过影响进气温度的各因素。在使用过程中应该注意保证一定的水温和适当的进气预热。如果温度过高，将使充气系数下降。当采用浓混合气及汽化潜热较大的燃料（如酒精），由于蒸发时吸热较多，进气温度显著降低，所以充气系数亦较高。从公式 1-9 不能得到如下结论：随着 ϵ 增加，充气系数下降。因为 ϵ 增加还将影响到残余废气量及缸壁温度而间接影响充气，由于后者影响较大，因此在实际四行程发动机中，随着 ϵ 的增加，充气系数总是增加的。

在使用过程中，随着发动机运转情况的变化，充气系数亦是变更的。

载荷变更时：在汽化器式发动机，随着载荷减小，节气门关小，进气阻力增大，使充气系数下降。在柴油机随着载荷的变更，进气系统阻力并没有多大变化，只是每循环供油量改变（供油量改变会影响进气温度而使充量改变，但影响不大），所以，柴油机随着载荷的变更，充气系数将不发生多大变化。

转速变更时：当载荷不变而转速改变时，气流速度变化，在进排气系统中的阻力损失将急剧地改变。随着转速的增加，进气压力 p_a 减小，排气压力 p_r 增加，虽然这时新气与缸壁接触时间减短而使 ΔT 稍减，但不能抵消 p_a 及 p_r 对 η_v 的影响。充气系数 η_v 随转速 n 的变化关系如图 1-6 所示。

曲线 3 表明 η_v 与转速的关系是：随着转速的升高，充气系数下降。

这根曲线是假定在每一转速下，发动机都是在最佳的气门定时情况下运转的。在实际情况中，发动机是不能按此情况工作的。实际发动机充气系数将按曲线 1 或 2 的形状来变化，这是因为已选定的气门定时只对某一转速最适合。如曲线 2 所选定的气门定时，对较低的转速 n'' 最适合，此时充气系数最高。若转速降低时，气流速度降低，惯性力减小，气缸一部分的充量在压缩开始时，将被活塞推回进气系统中（此时进气门迟后关闭就显得过大）；而且气门迭开时间亦显得过长，将使部分燃烧产物流入进气系统。所以当转速低于 n'' 时，充气系数下降；超过 n'' 时，随着转速增加，气流阻力损失增大，充气系数亦下降。曲线 1 是选定的另一适合于较高转速 n' 的气门定时，充气系数在 n' 达到最大值。曲线 1 称气门定时的高速调整，曲线 2 称气门定时的低速调整；气门定时低速调整适用于低速发动机，高速调整适用于高速发动机。

发动机充气系数的一般范围：

汽化器式发动机

$\eta_v = 0.75 \sim 0.85$

柴油机

$\eta_v = 0.78 \sim 0.92$

侧置气门的汽化器式发动机由于进气阻力较大，其充气系数偏低。柴油机的充气系数较高，主要是因为进气阻力较小、预热较小。

以上介绍的充气系数范围值不是恒定不变的，它将随技术的发展而发生变化。

6. 残余废气系数 γ ：在排气终了，活塞只到上止点，而在燃烧室容积 V_c 内的废气将不易排掉。所以，每一次从前一循环到下一循环在气缸内总留有残余废气，它污染了新鲜气体

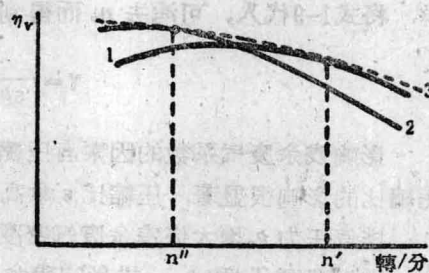


图 1-6 转速及气门定时对充气系数的影响

并使充气量降低，使发动机的功率及经济性下降。

残余废气存在的多少以残余废气系数来衡量。即留在气缸内残余废气的重量 G_r 与实际进入气缸的新鲜气体重量 G_e 之比：

$$\gamma = \frac{G_r}{G_e}$$

根据气体特性方程： $G_r = \frac{p_r V_r}{R_r T_r}$; $G_e = G_0 \eta_v = \frac{p_0 V_h}{R_e T_0} \eta_v$ 。

将 G_r 、 G_e 值代入上式得：

$$\gamma = \frac{p_r V_r}{R_r T_r} \cdot \frac{R_e T_0}{p_0 V_h \eta_v}$$

假定 $R_r = R_e$ ，并以 $\frac{V_r}{V_h} = \frac{1}{\varepsilon - 1}$ 代入上式，则得 γ 与其它参数之间的关系式：

$$\gamma = \frac{p_r T_0}{p_0 T_r \eta_v (\varepsilon - 1)} \quad (1-10)$$

将式1-9代入，可消去 η_v 而得到另一型式的关系式：

$$\gamma = \frac{p_r}{\varepsilon p_a - p_r} \cdot \frac{T_0 + \Delta T}{T_r} \quad (1-11)$$

影响残余废气系数的因素有压缩比 ε 、排气温度 T_r 及排气压力 p_r 。在四行程发动机中压缩比的影响很显著，压缩比 ε 愈高，亦即残余废气所占据的相对容积愈小，则 γ 减小。

排气压力 p_r 增大使残余废气密度增加，同时使充气量减小，因此残余废气系数增大。

排气温度 T_r 和 p_r 一样影响残余废气的密度，因此 T_r 提高，残余废气系数则下降。

发动机的运转情况使 p_r 及 T_r 改变，因而影响残余废气系数。

对汽化器式发动机，当载荷增加时，即节气门开大，新气充量就增加，因而残余废气系数减小；当负荷减小时，新气充量减小，所以 γ 迅速增加；当发动机怠速时， γ 达到最大值。

对柴油机，当载荷增加时，这时虽进、排气阻力没有多大改变，但排气温度 T_r 增加了，使残余废气密度减小，因而残余废气系数减小。

当载荷不变、转速增加时，进排气阻力损失增加，使 p_r 增加， p_a 下降，这将使残余废气量增加，新气充量减少，所以 γ 增加。

在燃烧室容积内没有清除作用的四行程发动机中，残余废气系数的数值当全负荷时，在下列范围内变更：

汽化器式或煤气发动机	0.06~0.16
柴油机	0.03~0.06

第三节 压缩过程

发动机中压缩过程的作用是为了提高工作过程的温度，为了保证燃烧产物在实际发动机中有可能膨胀，和创造工作混合气燃烧的良好条件。这样能使热量更好的转变为有用功，并使